

ORIGINAL ARTICLE

Cadmium Adsorption by Activated Carbon Granules Coated with Iron Nanoparticles from Aqueous Solution: Kinetics, Isotherms and Adsorption Mechanism Studies

Mohammad Reza Samarghandi¹,
Salah Azizi²

¹ Associate Professor, Department of Environmental Health, Health Sciences Research Center, Faculty of Health, Hamadan University of Medical Sciences and Health Services, Hamedan, Iran

² MSc in Environmental Health Engineering, Student Research Center, Hamadan University of Medical Sciences, Hamedan, Iran

(Received Jul 23, 2014 ; Accepted November 22, 2014)

Abstract

Background and purpose: Cadmium (Cd) is a toxic heavy metal that pollutes the environment via industrial, domestic and agricultural effluents. Its accumulation in aquatic ecosystem could have adverse effects on human health so, its removal from aquatic environment is of great importance. The aim of this study was to evaluate the performance of activated carbon coated iron nanoparticles for the removal of cadmium from aqueous solution. Moreover, kinetic and isotherm models were used to fit experimental data.

Materials and methods: This fundamental and applied study was performed in laboratory. Adsorbent characterization was determined using X-ray dilatometer (XRD), scanning electron microscope (SEM), and FTIR. Factors affecting the adsorption process such as concentrations of cadmium, pH, time and adsorbent dose in removal of cadmium from aqueous solution were selected and evaluated. The experimental data were evaluated by various isotherm and kinetic models. Data analysis was performed using SPSS V.16.

Results: Results of XRD and SEM showed that nanoparticles diameter were 20 nm that was well coated on to activated carbon. With increase in pH, time, concentration, and decreasing of Cd concentration, the rate of cadmium adsorption increased. The highest adsorption rate (approximately 90%) was obtained at pH 9. The results of cadmium adsorption were found to fit well with Freundlich isotherm model ($R^2 > 0.94$). Adsorption followed second-order kinetics. FTIR analysis revealed that O-H, C-O-H and amine groups played an important role in sorption of cadmium.

Conclusion: According to the results, coated nanoparticles could be used to increase the adsorption efficiency of cadmium and as an effective method in removing of cadmium.

Keywords: Iron Oxide nano particles, adsorption, activated carbon, cadmium

J Mazandaran Univ Med Sci 2014; 24(119): 109-121 (Persian).

جذب کادمیوم با استفاده از کربن فعال پوشیده شده با نانو ذرات اکسید آهن در محلول های آبی و بررسی ایزوترم ها، سینتیک و مکانیسم جذب

محمد رضا سمرقندی^۱

صلاح عزیزی^۲

چکیده

سابقه و هدف: کادمیومیکی از فلزات سنگین سمی استو از طریق پساب های صنعتی، خانگی و کشاورزی وارد محیط زیست می شود. با توجه به بالا بودن سطح سمیت کادمیوم و تمایل آن به تجمع در بافت زنده، حذف آن از آب دارای اهمیت زیادی است. هدف از انجام این پژوهش بررسی کارایی کربن فعال پوشیده شده با نانو ذرات اکسید آهن در حذف کادمیوم و مطالعه سینتیک، ایزوترم و مکانیسم جذب می باشد.

مواد و روش ها: مطالعه حاضراز نوع بنیادی - کاربردی بوده است که به صورت آزمایشگاهی انجام شد. برای تعیین خصوصیات جاذب از XRD و SEM و برای بررسی گروه های عملکردی بر روی جاذب از FTIR استفاده شد. فاکتورهای مختلف از قبیل pH، غلظت کادمیوم، زمان تماس و دوز جاذب در حذف کادمیوم بررسی شد. ایزوترم های جذب لانگمویر، فرونالیخ، دوبنین- رادشکوویچ، تمکین و همچنین سینتیک جذب درجه اول و شبه درجه دوم برای توصیف داده های جذب استفاده شدند.

یافته ها: براساس نتایج XRD و SEM مشخص شد که قطر نانو ذرات اکسید آهن ۲۰ نانومتر می باشد که به خوبی بر روی کربن فعال پوشش داده شد. با افزایش pH، زمان، غلظت جاذبو کاهش غلظت کادمیوم میزان جذب کادمیوم افزایش پیدا می کند. بیشترین میزان جذب در $pH=9$ (حدود ۹۰ درصد) حاصل شد. داده های ایزوترم جذب از ایزوترم فرونالیخ و سینتیک جذب از مدل شبه درجه دوم پیروی می کند. آنالیز طیف FTIR نشان داد که گروه های عاملی OH، آمین و کربوکسیل نقش مهمی در جذب کادمیوم دارند.

استنتاج: با توجه به نتایج به دست آمده می توان از پوشش نانو ذرات برای افزایش راندمان جذب کادمیوم استفاده کرد و آن را به عنوان روش موثر در حذف کادمیوم به کار برد.

واژه های کلیدی: نانو ذرات اکسید آهن، جذب، کربن فعال، کادمیوم

مقدمه

فلزات سنگین یکی از آلاینده های پایدار غیر قابل تجزیه بیولوژیکی است که می تواند در محیط زیست به بدین ترتیب وارد زنجیره غذایی شود بنابراین برای هر

E mail: Salah.Azizi9@yahoo.com

مؤلف مسئول: صلاح عزیزی- همدان: خیابان شهریار فهمید، دانشگاه علوم پزشکی همدان، دانشکده بهداشت

۱. دانشیار، گروه بهداشت محیط، مرکز تحقیقات علوم بهداشتی، دانشکده بهداشت، دانشگاه علوم پزشکی همدان، همدان، ایران

۲. دانشجوی کارشناسی ارشد مهندسی بهداشت محیط، کمیته تحقیقات دانشجویی، دانشگاه علوم پزشکی همدان، همدان، ایران

تاریخ دریافت: ۱۳۹۳/۵/۱ تاریخ ارجاع جهت اصلاحات: ۱۳۹۳/۵/۲۸ تاریخ تصویب: ۱۳۹۳/۹/۱

کند، ظرفیت جذب پایینی جهت جذب کادمیوم دارد(۷). اکسید آهن نسبت به کربن فعال پتانسیل و ظرفیت جذب بیشتری برای جذب فلزات سنگین مانند کادمیوم دارد(۸-۱۱). بنابراین با استفاده از اکسیدهای فلزی مثل اکسید آهن می‌توان مکانهای جذب را افزایش داد. اکسیدهای فلزی به طور قابل توجهی برای جذب فلزات سنگین مورد توجه قرار گرفته‌اند. با وجود این در صورت استفاده از اکسید آهن، جداسازی جامدات و لجن تولیدی بعد از فرآیند جذب به دلیل این‌که اکسیدهای فلزی معمولاً در حالت کلوئیدی هستند، مشکل خواهد بود(۱۲). برای حل این مشکل نانوذرات اکسید آهن بر روی گرانولهای کربن فعال پوشش داده شدنده که در این صورت می‌توان بعد از فرآیند جذب دوباره فلزات سنگین را باز جذب کرد و از جاذب جداسازی کرد. ذرات نانومتری اکسید آهن پوشیده شده با کربن فعال را می‌توان جهت حذف آلاینده‌های آلی موجود در پساب‌های صنعتی و فاضلاب‌های شهری به کار برد(۱۳). بدین صورت که طیک فرآیند با فناوری بالا نانوذرات اکسید آهن را بر روی کربن فعال پوشش می‌دهند و نیز با اعمال تغییراتی استفاده از نانوذرات آهن به عنوان یک تکنولوژی جدید، به طور موفقیت‌آمیزی یون‌های مختلف فلزی را از محلول‌های آبی می‌زداید(۱۴). هدف از انجام این پژوهش بررسی کارایی کربن فعال پوشیده شده با نانوذرات آهن در حذف کادمیوم از محلول‌های آبی و مطالعه سینتیک، ایزوتروم و مکانیسم جذب کادمیوم با استفاده از کربن فعال پوشش داده شده با نانوذرات اکسید آهن بوده است.

مواد و روش ها

مطالعه حاضر از نوع بنیادی-کاربردی بوده است که به صورت آزمایشگاهی انجام شد. پوشش نانوذرات آهن بر روی گرانول‌ها: مقدار ۵ گرم از کربن فعال به ۱۰ میلی‌لیتر محلول حاوی مقداری

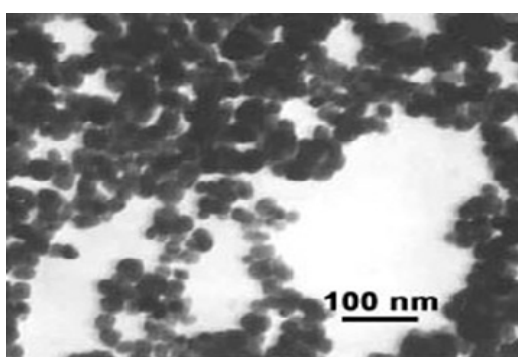
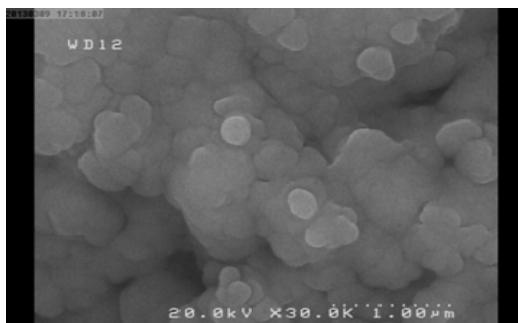
کدام از فلزات سنگین حدی تعیین شده است که بالاتر از آن می‌تواند سمی و خطرناک باشد. بنابراین غلظت این آلاینده‌ها بایستی تا سطح استانداردهای وضع شده کاهش یابد. کادمیوم یک فلز سنگین است که سمیت آن ۲۰ تا ۲۱ برابر دیگر فلزات سنگین است(۲،۱). کادمیوم یکی از فلزات سنگین سمی دارای اهمیت شغلی و محیطی می‌باشد که از راه سوختن سوخت‌های فسیلی، تولید فلزات، کاربرد کود‌های فسفات، آبکاری و ساخت باطری‌ها و رنگ‌ها به صورت کلاید، سولفید، کربنات، اکسید و غیره آزاد می‌شود. اخیراً به دلیل استفاده زیاد از کادمیوم، وجود آن در منابع آب به یک مشکل بهداشتی تبدیل شده است(۳).

روش‌های معمول برای حذف فلزات سنگین از پساب‌ها شامل رسوب‌دهی شیمیایی به صورت هیدروکسید و یا سولفید و تعویض یونی می‌باشد(۴،۵). فرآیندهای رسوب‌دهی از جمله فرآیندهای متداول برای حذف فلزات سنگین می‌باشند که این فرآیندها دارای محدودیتهايی هستند برای مثال حداکثر حذف فلزات با این روش محدود می‌باشد و همچنین pH بهینه برای حذف فلزات مختلف ممکن است بسیار متفاوت باشد. حتی در حالتی که حذف موقتی آمیزی از فلزات با این روش حاصل شود، به دلیل اضافه کردن مواد شیمیایی (به عنوان کواگلانت) و همچنین مدیریت لجن تولیدی، روش رسوب‌دهی شیمیایی هزینه بر خواهد بود(۶). همچنین روش‌های غشای یمانند اسمز معکوس، الکترودیالیز و الترافیلتراسیون به علت قیمت بالا، فرآیندهای پیچیده و بازده پایین برای حذف کادمیوم از محیط‌های آبی مناسب نیستند. جذب سطحی به عنوان یک روش موثر برای حذف فلزات سنگین از آب و خاک توسعه یافته می‌باشد. یک روش برای حذف کادمیوم می‌تواند استفاده از جاذب کربن فعال و یا اکسیدهای فلزی همچون اکسید آهن باشد. با وجود این که استفاده از کربن فعال جهت حذف کادمیوم می‌تواند مشکلات لجن تولیدی و جداسازی آن را حل

دقیقه با دور ۴۰۰۰ rpm سانتریفیوژ شدند. اندازه گیری مقدار کادمیوم با استفاده از دستگاه جذب اتمیمدل Varian SpectrAA 220 (ساخت کشور استرالیا) انجام گرفت. تاثیر عوامل مختلف اثر مانند مقدار جاذب، غلظت کادمیوم در نمونه pH و تاثیر زمان مانند به تفکیک و همچنین اثرات متقابل آنها از طریق آنالیز واریانس یک طرفه در سطح معنی داری ۵ درصد بررسی شدند. برای آنالیز داده ها از نرم افزار SPSS.16 استفاده شد.

یافته ها

مشخصات نانو ذره اکسید آهن: برای مشخص کردن فازهای کربیتالی نانو ذرات و اندازه گیری خصوصیات ساختاری آنها از الگوی پراش XRD استفاده شده است. تصویر شماره ۱ الف تصویر TEM نانو ذرات اکسید آهن مورد استفاده در این تحقیق و SEM نانو ذرات پوشش داده شده بر روی کربن فعال را نشان می دهد. تصویر شماره ۱ ب تصویر XRD نانو ذره اکسید آهن را نشان می دهد.



تصویر شماره ۱ الف: تصویر نانو ذرات اکسید آهن مورد استفاده در این تحقیق: (a) و (b) SEM و TEM

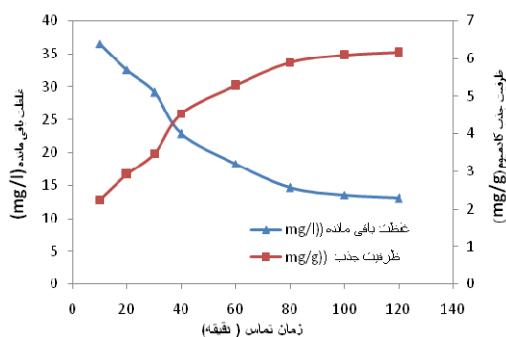
از نانو ذرات آهن با نسبت ۱/۷۵، ۳/۵ و ۵/۲۵ (درصد وزن به حجم) اضافه شدند. با استفاده از یک هم زن به مدت یک ساعت هم زده شدند (برای اختلاط نمونه ها از اختلاط هنده مدل ۱۹۰ Hana-Hi با دور میانگین ۱۵۰ دور در دقیقه و مگنت مغناطیسی ۲۵ میلیمتری استفاده شد) و در نهایت در دمای ۱۰۵ درجه سلسیوس به مدت ۲۰ ساعت فرآیند خشک شدن انجام شد. شست و شو با استفاده از آب مقطر تا زمانی که pH آب خروجی به حدود ۷ تا ۸ برسد، انجام شد. باقی مانده جامد در دمای ۱۰۵ درجه سلسیوس به مدت ۲۴ ساعت خشک شد و برای استفاده در مراحل بعدی ذخیره شد (۱۵).

آماده سازی محلول ها: محلول مادر کادمیوم با استفاده از آب دیونیزه با $\text{Cd}(\text{NO}_3)_2 \cdot 4\text{H}_2\text{O}$ در غلظت ۱۰۰ میلی گرم در لیتر آماده شد. محلول کادمیوم با غلظت های مختلف از محلول مادر، آماده شد. به منظور جلوگیری از ترسیب فلز، چند قطره اسید نیتریک به محلول اضافه شد. pH اوایله محلول های سنتیک با استفاده از هیدروکسید سدیم و اسید هیدروکلریدریک SUNTEX SP-701 pH متر مدل و به وسیله یک pH سیلیکونیک ساخت کشور تایوان در مقادیر دلخواه تنظیم شد. برای کنترل pH در حین انجام فرآیند ها از بافر استات سدیم ۰/۰۵ مولار استفاده شد.

انجام آزمایش های تعیین اثر پارامترها بر راندمان جذب کادمیوم: در این مرحله با استفاده از کربن فعال که با انواع مختلفی از مقادیر نانو ذرات ثبیت شده بودند، فرآیند جذب کادمیوم در غلظت ۵۰ میلی گرم در لیتر و pH برابر با ۷ در مدت زمان ۲ ساعت انجام شد. ظرفیت جذب هر یک از انواع کربن فعال پوشش داده شده با نانو ذرات تعیین شد و موردی که بیشترین ظرفیت جذب را داشت، برای انجام مطالعات بعدی یعنی اثر پارامترهای مختلف مورد استفاده قرار گرفت. آزمایش بررسی اثر پارامترهای زمان تماس، pH، غلظت کادمیوم، دوز گرانول پوشش داده شده بر روی جذب کادمیوم انجام شد. نمونه ها داخل دستگاه سانتریفیوژ به مدت ۲۰

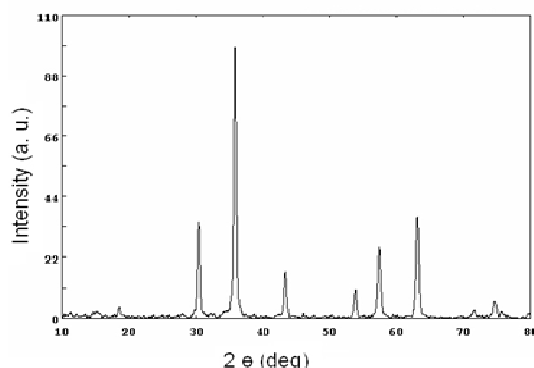
پیک‌های 1658cm^{-1} و 1535cm^{-1} بیانگر پیوند کششی C-C موجود در کربن فعال، پیک 1384cm^{-1} نشان دهنده پیوند C-CH₃ می‌باشد. هم‌چنین پیک نسبتاً پهن در ناحیه 1040cm^{-1} می‌تواند مربوط به نانوذرات آهن و پیوند کششی C-O-H باشد و پیک در ناحیه 585cm^{-1} ناشی از پیوند C-O-C است. تغییرات ایجاد شده در جابجایی پیک‌های مذکور در طیف بعد از جذب کادمیوم بر روی کربن فعال پوشش داده شده بیانگر جذب کادمیوم بر روی جاذب مورد استفاده می‌باشد.

تاثیر تغییرات زمان ماند بر کارایی جذب کادمیوم نتایج تاثیر زمان ماند بر جذب کادمیوم در تصویر شماره ۳ نشان داده است. نتایج این مطالعه نشان داد که با افزایش زمان ماند جذب کادمیوم بیشتر می‌شود و بعد از 120 دقیقه فرآیند جذب به تعادل می‌رسد که بعد از این زمان افزایشی در مقدار جذب کادمیوم مشاهده نگردید.



تصویر شماره ۴: ظرفیت جذب و مقدار غلظت باقی مانده کادمیوم در زمان تماس مختلف گرانول کربن فعال پوشش داده شده ($\text{pH} = 7$)، $\text{pH} = 7$ ، غلظت کادمیوم 50 میلی گرم در لیتر و دوز گرانول 6 گرم در لیتر)

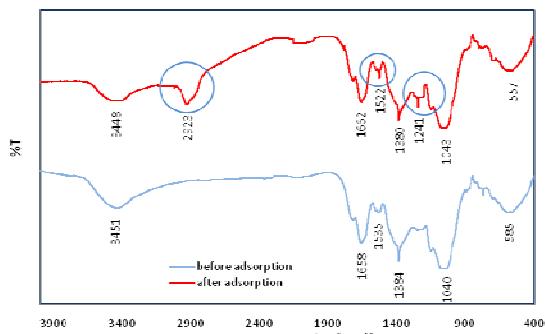
تاثیر تغییرات pH بر کارایی جذب کادمیوم نتایج تاثیر تغییرات pH بر کارایی جذب کادمیوم (تصویر شماره ۴) نشان می‌دهد که pH یک پارامتر بسیار مهم در تغییر راندمان جذب کادمیوم می‌باشد. بر اساس نتایج حاصل از این تحقیق راندمان جذب کادمیوم با افزایش pH افزایش می‌یابد به طوری که بیشترین میزان



تصویر شماره ۱ ب: تصویر XRD نانو ذره اکسید آهن مورد استفاده در این تحقیق

جدول شماره ۱: مشخصات کلی نانوذرات و کربن مورد استفاده

نانوذرات اکسید آهن (Fe_2O_3) (GAC)	کربن فعال دانه‌ای (gamma Fe_2O_3)
مقادیر	مقادیر
پارامترها	پارامترها
$0.06-0.09$	20 (nm)
اندازه موثر	قطر ذرات
1.00	$40-80$ (m^2/g)
m^2/g	سطح و پیزه (g/m ²)
0.42	کروی
دانسیت	شکل ذرات
$1/19 \geq$	ضربی یکتاختی
عدد ملاس	فرم ذره‌ای
231	رنگ
	درصد خلوص (%)



تصویر شماره ۲: آزمون FTIR ز کربن فعال پوشش داده شده با نانوذرات اکسید آهن قبل و بعد از جذب کادمیوم

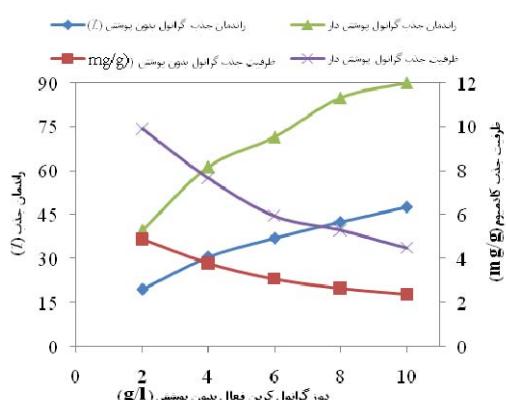
آزمایش FTIR اسپکتروسکوپی در محدوده $4000-400\text{cm}^{-1}$ بر روی کربن فعال پوشش داده شده با نانوذرات اکسید آهن قبل و بعد از جذب کادمیوم استفاده شد. نتایج طیف نگاری به دست آمده برای جاذب مورد استفاده در این مطالعه در تصویر شماره ۲ ارائه شده است. در طیف قبل از جذب کادمیوم، باند جذبی پهن 3451cm^{-1} نشان دهنده روی هم قرار گیری پیک‌های مربوط به گروه‌های هیدروکسیل و آمین‌ها (N-H) می‌باشد.

نتایج دوز جاذب گرانول کربن فعال بدون پوشش و پوشش دار بر کارایی جذب کادمیوم

نتایج نشان داد که با افزایش غلظت جاذب میزان

جذب کادمیوم افزایش پیدا می کند (تصویر شماره ۶).

همچنین مشخص گردید که با افزایش غلظت جاذب گرانول کربن فعال از ۲ گرم بر لیتر به غلظت ۱۰ گرم بر لیتر در زمان ماند ۱۲۰ دقیقه راندمان جذب کادمیوم از حدود $39/64$ درصد به $89/88$ درصد افزایش یافته است. همچنین مشخص گردید که گرانول کربن فعال پوشش داده شده با نانو ذرات اکسید آهن کارایی بیشتری نسبت به گرانول کربن فعال بدون پوشش دارد.

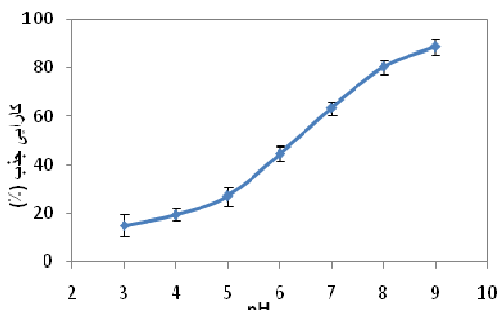


تصویر شماره ۴: مقایسه راندمان جذب کادمیوم توسط گرانول کربن فعال بدون پوشش و پوشش دار در دوزهای مختلف جاذب pH = ۷ غلظت کادمیوم 50 میلی گرم در لیتر و زمان ماند 120 دقیقه

بررسی ایزوترم و سیستمیک جذب کادمیوم

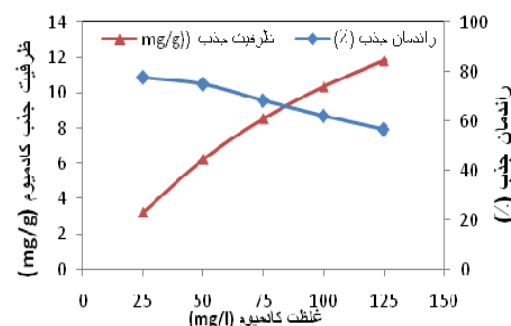
جهت بررسی ایزوترم جذب در این مطالعه از جاذب گرانول کربن فعال پوشش داده شده با نانو ذرات اکسید آهن در 5 دوز متفاوت جاذب و با شرایط ثابت در تماس با یک غلظت ثابت از کادمیوم آزمایش ها انجام شد. نتایج بررسی ایزوترم های جذب در جدول شماره ۲ نشان داده شده است. با توجه به نتایج به دست آمده مشخص گردید که جذب کادمیوم با استفاده از گرانول کربن فعال پوشش داده شده با نانو ذرات اکسید آهن از مدل ایزوترم فرونالیخ تبعیت می کند ($R^2 = 0.94$). هر چند نمی توان ضریب همبستگی دیگر مدل های

جذب کادمیوم در pH 9 حاصل شد. نتایج آنالیز آماری آنالیز واریانس یک طرفه نشان داد که اثر pH روی فرایند جذب کادمیوم معنی دار می باشد ($p < 0.01$).



تصویر شماره ۵: تأثیر غلظت کادمیوم بر راندمان جذب کادمیوم توسط گرانول کربن فعال پوشش داده شده با نانو ذرات اکسید آهن (غلظت کادمیوم 50 میلی گرم در لیتر، دوز گرانول کربن فعال پوشش داده شده 6 گرم در لیتر و زمان ماند 120 دقیقه)

تأثیر تغییرات غلظت اولیه کادمیوم بر فرآیند جذب نتایج اثر تغییرات غلظت اولیه کادمیوم بر فرآیند جذب در تصویر شماره ۵ نشان داده شده است. بر اساس نتایج حاصله مشخص شد که با افزایش غلظت کادمیوم راندمان جذب آن کاهش ولی ظرفیت جذب به ازای واحد جرم جاذب افزایش می یابد. راندمان جذب برای غلظت 25 و 125 میلی گرم در لیتر به ترتیب برابر $77/52$ و $56/62$ درصد و ظرفیت جذب به ترتیب $11/8$ و $3/2$ میلی گرم بر گرم بود.



تصویر شماره ۶: تأثیر غلظت کادمیوم بر راندمان جذب آن توسط گرانول کربن فعال پوشش داده شده با نانو ذرات اکسید آهن pH = ۷، دوز 6 گرم در لیتر و زمان ماند 120 دقیقه)

آزمون XRD یانگر ساختار شش وجهی نانو ذرات $\gamma\text{-Fe}_2\text{O}_3$ بوده است. در مطالعه حاضر به منظور بررسی ناخالصی‌های موجود بر روی بلورهای نانو ذارت اکسید آهن، آنالیز عنصری با استفاده از طیف سنجی تفرقه انرژی اشعه ایکس انجام شد که نتایج حاصل از این آنالیز نشان داد ناخالصی‌هایی چون کلسیم (70 ppm ، کربالت ($21/5\text{ }\mu\text{g/g}$)، نیکل ($40/2\text{ }\mu\text{g/g}$) و استرنسیم ($46/3\text{ }\mu\text{g/g}$) در مقادیر بسیار اندک وجود دارد.

نتایج حاصل از آزمون FTIR نشان داد که تغییراتی در پیک‌های مربوط به گروه‌های عاملی بر روی جاذب مورد استفاده قبیل و بعد از جذب کادمیوم ایجاد شده است. پیک در محدوده $3600-3300\text{ cm}^{-1}$ که یک پیک پهن می‌باشد بعد از جذب کادمیوم تغییراتی در آن ایجاد و کوتاه‌تر شده است. هم‌چنین پیک دیگری در نزدیک آن در 2923 cm^{-1} ایجاد شده است که نشان‌دهنده تشکیل باند O-H و آمینی (N-H) می‌باشد که هر دو در جذب کادمیوم بر سطح جاذب شرکت می‌کنند. هم‌چنان که بر اساس تصویر شماره ۲ آزمایش FTIR قبل و بعد از جذب کادمیوم نشان می‌دهد که پیک در 3451 cm^{-1}

ایزوترم را نادیده گرفت و می‌توان با این مدل‌ها هم مکانیسم‌ها و نوع فرآیند جذب را تشریح کرد. برای بررسی سیتیک جذب از دو مدل درجه اول و شبه درجه دوم استفاده شد که نتایج آن در جدول شماره ۳ ارائه شده است. نتایج سیتیک جذب نشان داد که فرآیند جذب تطابق بیشتری با مدل شبه درجه دوم دارد. هم‌چنین مشخص شد که ثابت مدل سیتیک شبه درجه دوم ($K_{2,\text{ad}}$) با افزایش غلظت افزایش می‌یابد.

بحث

مشخصات نانوذرات: مشخصات کلی نانو ذرات و کربن فعال در جدول شماره ۱ نشان داده شده است. الگوی XRD نانوذرات اکسید آهن در تصویر شماره ۱ ب مشخص شده است. الگوی پراش تابش X نانوذرات پیکی تیز باشد بالا در زوایای بالا ($20=30^\circ$) را نشان داد. به جز این چند پیک ضعیف دیگر باشد کمتر در زوایای بالاتری ($20=65^\circ$) وجود دارد. در بررسی مشخصات نانو ذرات مورد استفاده در این مطالعه پیک‌های حاصل از پراش اشعه ایکس در

جدول شماره ۲: معادلات استفاده شده و پارامترهای مدل‌های ایزوترم‌جذب

R ²	پارامترها	فرمول	مدل‌های ایزوترم
R ² =.894	b=.145 q _m (mg/g)=10.27	$\frac{1}{q_e} = \frac{1}{q_m b} \left(\frac{1}{C_e} \right) + \frac{1}{q_m}$	(Langmuir) (16)
R ² =.944	k _F =6.1 n=2.36	$\log q_e = \log k + \frac{1}{n} \log C_e$	(Freundlich) (17)
R ² =.854	X _m (mg/g)=8.84 MFE(kJ/mol)=5	$\ln q_e = \ln x_m - K_{DR} E^2$ $MFE = \frac{1}{\sqrt{-2K_{DR}}}$	دوینن-رادشکوویچ (D-R) (18)
R ² =.895	B=2.85 A(L/g)=.84	$q_e = B \ln A + B \ln C_e$	تمکین (Temkin) (18)

جدول شماره ۳: نتایج حاصل از بررسی مدل‌های سیتیک جذب در غلظت‌های مختلف کادمیوم

K _{1,ad} (min ⁻¹)	مدل سیتیک درجه اول (Lagergren)		مدل سیتیک شبه درجه دوم (۲)		C ₀ (mg/l)	
	q _{eq,cal} (mg/g)	R ²	K _{2,ad} (g/(mg min))	q _{eq,cal} (mg/g)		
.003	5.86	.976	.0004	7.88	.989	50
.026	7.77	.998	.00024	11.35	.995	75
.032	9.62	.984	.00028	12.95	.996	100

$$(1): \log(q_{eq} - q) = \log q_{eq} - k_{1,ad} \frac{t}{2303}$$

$$(2): \frac{t}{q} = \frac{1}{k_{2,ad} q_{eq}} + \frac{t}{q_{eq}}$$

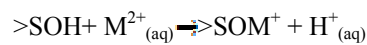
تأثیر pH بر کارایی جذب کادمیوم؛ نتایج مرتبط با تاثیر pH بر کارایی جذب کادمیوم نشان می دهد که pH یک پارامتر بسیار مهم در تغییر راندمان جذب کادمیوم می باشد. بر اساس نتایج حاصل از این تحقیق راندمان جذب کادمیوم با افزایش pH افزایش می یابد به طوری که بیشترین میزان جذب کادمیوم در pH برابر ۹ صورت گرفته است. کاهش راندمان جذب کادمیوم در pH پایین می تواند به این دلیل باشد که در محلول با pH پایین می تواند به این فلز در جذب بر روی سطح گروههای هیدروکسیل رقابت وجود دارد در نتیجه جذب فلز کاهش می یابد (۲۵). علاوه بر این هنگامی که مکانهای فعال پروتون دار می شوند سطح دارای بار مثبت می شود و بنابراین جذب یون فلزی (بارمثبت) در محلول بر روی سطح کمتر اتفاق می افتد. با توجه به این که pH_{pzc} اکسید آهن حدود ۸/۷۸ و در محلول، pH پایین تر از pH_{pzc} اکسید آهن است. در نتیجه مکانهای هیدروکسیل سطح میتواند پروتون دار شود و بار مثبت پیدا کند. به عبارت دیگر مکانهای فعال هنگامی که pH محلول بیش تر از pH_{pzc} شود پروتون آزاد می کنند در نتیجه سایت های جذب بار منفی پیدا می کنند و کاتیون های فلزی می توانند با واکنش الکترواستاتیک با سایت های جذب اکسید آهن که بار منفی دارند واکنش الکترواستاتیک دهد و بر روی سطح اکسید آهن جذب شود (۱۵). ممکن است بار سطحی جاذب ها وابسته به pH محلول باشد و می تواند به صورت هر دو بار منفی و مثبت باشد. هنگامی که pH محلول بالای pH_{pzc} باشد، بار سطحی جاذب منفی می شود و تمایل به جذب کاتیون پیدا می کند. در حالی که pH محلول زیر pH_{pzc} باشد جذب آنیون رخ می دهد. با وجود این در مطالعه حاضر حذف یون های فلزی در محلول با pH کم تر از pH_{pzc} اکسید آهن مشاهده شد. بنابراین جذب یون های فلزی بر روی اکسید آهن بدون واکنش الکترواستاتیک هم رخ می دهد. البته pH_{pzc} کربن فعال پوشش داده شده با نانوذرات اکسید آهن کم تر از pH_{pzc} نانوذرات اکسید آهن به تنها بود که

(نشان دهنده حضور گروههای عاملی آمینی) به 1535cm^{-1} 2923cm^{-1} تغییر پیدا کرده است. یک پیک در 1124cm^{-1} تغییر پیدا کرده است و همچنین در عمق پیک تغییراتی ایجاد شده و طول آن بیشتر شده که می تواند ناشی از پیوند بین کادمیوم و گروههای عاملی بر سطح جاذب باشد. پیک جدید در 1052cm^{-1} ایجاد شده که می تواند مربوط به تغییر شکل C-O پیوند CH_3 و شکل گیری پیوند کششی یگانه C-O ناشی از اتصال کادمیوم باشد. همچنین در این محدوده باند C-O-H (کربوکسیلیک اسید) هم محتمل است. در مطالعه ای که در این زمینه انجام شده طیف FTIR مشابهی را گزارش کردند (۲۰، ۲۱). نتایج آنالیز طیف FTIR نشان داد که گروههای عاملی OH، آمین و کربوکسیل نقش بسیار مهمی در جذب کادمیوم دارند.

تأثیر زمان ماند بر کارایی جذب کادمیوم؛ نتایج این مطالعه نشان داد که با افزایش زمان ماند جذب کادمیوم بیشتر می باشد ولی فرآیند جذب روند کاهشی پیدا می کند. آنالیز آزمون آماری واریانس یکطرفه نشان می دهد که بین زمان ماند و کارایی حذف کادمیوم اختلاف آماری معنی داری وجود دارد ($p < 0.001$). همانطور که در تصویر شماره ۳ دیده می شود حدود ۴۲ درصد جذب در ۳۰ دقیقه اول فرآیند رخ می دهد و پس از گذشت زمان تماس از سرعت فرآیند جذب کادمیوم کاسته می شود که این امر به علت اشاع شدن سایت های جذب قابل دسترس در سطح جاذب می باشد. در تحقیقی که Boujelben و همکاران روی جذب مس و نیکل با استفاده از نانوذرات اکسید آهن پوشش داده شده بر روی شن انجام دادند گزارش کردند که بیشترین جذب در دقایق اولیه فرآیند صورت می گیرد به طوری که جذب حدود ۷۵ درصد از مس و ۵۰ درصد از نیکل در ۲۰ دقیقه اولیه فرآیند انجام می شود (۲۳). همچنین زمان تعادل حاصل شده در این مطالعه با مطالعه Amuda و همکاران تحت عنوان حذف فلزات سنگین از فاضلاب صنعتی با استفاده از کربن فعال اصلاح شده پوشش نارگیل مطابقت دارد (۲۴).

همچنین بیان کردند که ظرفیت جذب کروم با افزایش غلظت اولیه کروم شش ظرفیت افزایش می‌یابد (۲۸). تاثیر تغییرات دوز جاذب گرانول کربن فعال بدون پوشش و پوشش داده شده با نانوذرات اکسید آهن بر کارایی جذب کادمیوم؛ نتایج مطالعه اثر تغییرات دوز گرانول کربن فعال نشان داد که با افزایش غلظت جاذب میزان جذب کادمیوم افزایش پیدا می‌کند که با افزایش میزان غلظت جاذب سطح تماس جذب افزایش یافته و در نتیجه میزان جذب افزایش می‌یابد. نتایج به دست آمده نشان می‌دهند که با افزایش میزان جاذب، راندمان جذب نیز افزایش یافته اما ظرفیت جذب (ظرفیت جذب بر واحد جرم جاذب) کاهش پیدا کرده است. دلیل کاهش میزان ظرفیت جذب را می‌توان به واکنش‌های داخل ذره‌ای از جمله تراکم به علت افزایش میزان جاذب نسبت داد که موجب کاهش مساحت سطحی جاذب شده و همچنین باعث افزایش فاصله پیوند بین جاذب و جذب شونده می‌شود. فان و همکاران در مطالعه‌ای که بر روی حذف کادمیوم و مس با استفاده از کربن فعال پوشش داده شده با اکسید منگنز انجام دادند، نشان دادند که با افزایش غلظت جاذب میزان جذب افزایش و ظرفیت جذب کاهش یافته است (۲۵) Rao و Madhava همکاران در تحقیقی که بر روی حذف کادمیوم با استفاده از کربن فعال انجام دادند، گزارش کردند که با افزایش میزان جاذب مقدار جذب کادمیوم افزایش می‌یابد و از میزان ظرفیت جذب کاسته می‌شود (۲۹). از نتایج دست آمده مشخص گردید که گرانول کربن فعال پوشش داده شده با نانوذرات اکسید آهن کارایی بیشتری نسبت به گرانول کربن فعال بدون پوشش دارد به صورتی که جذب کادمیوم با دوز جاذب گرانول کربن فعال بدون پوشش ۴۷ درصد بود ولی میزان جذب کادمیوم با گرانول کربن فعال پوشش دار ۸۹ درصد به دست آمد. علت افزایش کارایی جذب کادمیوم توسط گرانول پوشش داده شده نسبت به گرانول بدون پوشش می‌تواند به دلیل خصوصیات فیزیکی و شیمیایی متفاوت

مقدار آن برای کربن فعال پوشش داده شده برابر ۶/۹ بود. مکانیسم احتمالی جذب یونهای فلزی (M^{2+}) بر روی سطح اکسید آهن (SOH) به صورت زیر نشان داده می‌شود (۱۵).



هنگامی که pH محلول افزایش می‌یابد درجه پرتوونه شدن گروههای هیدروکسیل سطح کاهش می‌یابد و جذب فلز مطلوب‌تر می‌باشد در نتیجه راندمان جذب کادمیوم افزایش می‌یابد. علاوه بر این در pH بالا حذف کادمیوم می‌تواند به هر دو دلیل فرآیند جذب و رسوب هیدرو اکسیدی اتفاق بیفتد. نتایج این پژوهش با نتایج مطالعه (۲۶) Mockovčiaková و Phuengprasop (۱۵) که بر روی جذب یونهای فلزی بر روی جاذب بنتونیت و اکسید آهن پوشش داده شده بر روی کربن فعال انجام دادند، مطابقت دارد. با توجه به pH محیط‌های آبی و مشکلات افزایش و یا کاهش pH در محیط‌های واقعی و راندمان مناسب در pH ۷، این pH به عنوان pH عملکردی برای بررسی سایر پارامترها و آزمایشات بیشتر انتخاب شد.

تاثیر غلظت اولیه کادمیوم بر فرآیند جذب: نتایج این مطالعه نشان داد که با افزایش غلظت کادمیوم از ۲۵ میلی گرم در لیتر به ۱۲۵ میلی گرم در لیتر راندمان جذب کادمیوم از ۷۷ به ۵۶/۶ درصد کاهش پیدا می‌کند. علت کاهش میزان جذب کادمیوم با افزایش غلظت اولیه آن را می‌توان به دلیل کاهش سطح جذب در دسترس به دلیل اشباع شدن سایتهاي جذب دانست. در تحقیقی که Chen و همکاران برای جذب آرسنیک با استفاده از آهن صفر پوشش داده شده بر روی گرانول کربن فعال انجام دادند، گزارش کردند که با افزایش غلظت آرسنیک راندمان جذب آن کاهش پیدا می‌کند (۲۷). در پژوهشی که Wu و همکاران برای جذب کروم با استفاده از بیومس لجن فعال انجام دادند، گزارش کردند که با افزایش غلظت کروم راندمان جذب آن به مقدار قابل توجهی کاهش پیدا می‌کند.

مطابق با گزارشات رنج مقدار 16 kJ/mol تا 8 kJ/mol مربوط به جذب فیزیکی است، هرچند جذب شیمیایی هم ممکن است در این محدوده و با افزایش مقدار MFE رخ دهد. محدوده مقدار 9 kJ/mol تا 16 kJ/mol مربوط به جذب شیمیایی و تبادل یون می باشد^(۳۲). در این مطالعه مقدار MFE برابر 5 kJ/mol تعیین شد. بنابراین در این تحقیق جاذب به مکانیسم جذب فیزیکی تمایل نشان داد، هرچند جذب شیمیایی هم اتفاق افتاده است. مدل ایزوترم تمکین برای تعیین الگوی توزیع انرژی جاذب مورد مطالعه قرار گرفت. با توجه به این که ضربیت همبستگی برای مدل فروندلیخ بیشتر از مدل تمکین بود بنابراین جاذب کربن فعال پوشیده شده با نانوذرات اکسید آهن وابستگی بیشتری به توزیع انرژی غیر خطی نسبت به الگوی توزیع انرژی خطی دارد. در مطالعه دلایانی و همکاران مدل فروندلیخ بیشترین تطابق را با فرآیند جذب فلزات سنگین نشان داد^(۳۳). اما در مطالعه Feng و همکاران گزارش کردند که جذب کادمیوم با استفاده از نانوذرات مغناطیسی هیدروکسی آپاتیت از مدل لانگموئر پیروی می کند^(۳۴).

بررسی سیستمیک جذب: پیشینی سرعت جذب برای یک سیستم ثابت یکی از پارامترهای مهم در طراحی سیستم جذب همچون کنترل سیستمیک جذب، زمان ماند و ابعاد رآکتور می باشد. ثابت های سرعت جذب یکی از پارامترهای فیزیکی و شیمیایی مهم برای ارزیابی کیفیت جاذب ها می باشد^(۳۵). برای ارزیابی مکانیسم جذب و مراحل محدود کننده سرعت، داده های سیستمیک با استفاده از مدل سیستمیک درجه اول و شبه درجه دوم توصیف شدند. نتایج داده های سیستمیک نشان داد که فرآیند جذب از مدل سیستمیک شبه درجه دوم پیروی می کند هر چند برای زمان ابتدایی فرآیند جذب داده های آزمایش تطابق بالایی را با مدل سیستمیک درجه اول نشان دادند. نتایج بررسی سیستمیک جذب مطالعه ما با پژوهش Fan و همکاران مطابقت داشت^(۳۶). در مطالعه Phuengprasop و همکاران هم گزارش کردند که

آنها باشد برای مثال اندازه منافذ در گرانول کربن فعال پوشش داده شده نسبت به گرانول بدون پوشش کوچک تر می باشد در نتیجه فضای سطحی بیشتر و فضای حجمی بزرگ تر می باشد. افزایش سطح را هم می توان به دلیل حضور نانوذرات اکسید آهن بر روی سطح گرانول کربن فعال بیان کرد. بنابراین با افزایش سطح مقدار بیشتری از کادمیوم می تواند جذب شود. نتایج مطالعه Xu و همکاران نیز که در آن اکسید آهن را بر روی سیلیس پوشش دادند و برای جذب فلزات استفاده کردند با نتایج این پژوهش مطابقت دارد^(۳۰). آنالیز آزمون آماری واریانس یکطرفه نشان می دهد که بین دوز گرانول کربن فعال بدون پوشش و کارایی حذف کادمیوم اختلاف آماری معنی داری وجود دارد ($p < 0.001$)^{(۳۷).}

بررسی ایزوترم های جذب کادمیوم: جهت طراحی سیستم هایی که بر اساس فرآیند جذب عمل می کنند، تعیین ایزوترم جذب بسیار مهم می باشد. ایزوترم جذب لانگموئر برای تخمین حداکثر ظرفیت جذب براساس پوشش کامل تک لایه ای از جاذب استفاده شد^{(۳۱). حداکثر ظرفیت جذب با توجه به مدل لانگموئر $10/27 \text{ mg/g}$ حاصل شد و مقدار ثابت لانگموئر مربوط به انرژی آزاد جذب (b) برابر $145/0$ بود. مقدار انرژی آزاد نسبتا پایین تا متوسط b ($2/0$) نشاندهندۀ انرژی سطحی پایین و احتمالا پیوند قوی بین کادمیوم و جاذب می باشد^(۲۹). ایزوترم فروندلیخ برای درک احتمال جذب چند لایه ای و توضیح انرژی غیر خطی برای مکان های جذب از جاذب استفاده شد^(۱۷). ثابت های K_f (ظرفیت جذب) و n (شدت جذب) به ترتیب برابر $1/6$ و $2/36$ بودند. بزرگی مقدار K_f و نشان دهنده جذب آسان کادمیوم از محلول های آبی و نشان دهنده جذب مطلوب می باشد. مدل دونین - رادشکوویچ اغلب برای بیان خصوصیات تخلخل و انرژی آزاد جذب استفاده می شود. میانگین انرژی آزاد جذب MFE برای مدل دونین - رادشکوویچ نشاندهندۀ اطلاعاتی در مورد خصوصیات فیزیکی و شیمیایی جذب می باشد^(۱۸).}

می دهد. مطالعات تعادل و سینتیک جذب نشان دادند که جذب کادمیوم از مدل ایزو ترم فروندلیخ و سینتیک FTIR شبه درجه دوم پیروی می کند. نتایج آنالیز طیف قبل و بعد از جذب کادمیوم نشان داد که گروههای عاملی OH، آمین و کربوکسیل نقش بسیار مهمی در جذب کادمیوم دارند.

سپاسگزاری

این مقاله حاصل بخشی از نتایج طرح تحقیقاتی مصوب در معاونت تحقیقات و فناوری دانشگاه علوم پزشکی همدان در رشتہ مهندسی بهداشت محیط با شماره ثبت طرح ۹۱۱۱۲۴۴۱۰۰ است. نویسندهای این مقاله برخود لازم می دانند که از حمایت های مادی و معنوی دانشگاه در انجام این طرح تشکر نمایند.

References

- Vassilev A, Tsonev T, Yordanov I. Physiological response of barley plants (*Hordeum vulgare*) to cadmium contamination in soil during ontogenesis. Environ Pollut 1998; 103(2-3): 287-293.
- Duddridge JE, Wainwright M. Heavy metal accumulation by aquatic fungi and reduction in viability of *Gammarus pulex* fed Cd²⁺ contaminated mycelium. Water Research 1980; 14(11): 1605-1611.
- Omarova A, Phillips CJ. A meta-analysis of literature data relating to the relationships between cadmium intake and toxicity indicators in humans. Environ Res 2007; 103(3): 432-440.
- Bhainsa KC, D'Souza SF. Removal of copper ions by the filamentous fungus, *Rhizopus oryzae* from aqueous solution. Bioresour Technol 2008; 99(9): 3829-3835.
- Pathak A, Dastidar MG, Sreekrishnan TR. Bioleaching of heavy metals from sewage sludge: A review. J Environ Manage 2009; 90(8): 2343-2353.
- Agrawal A, Sahu KK. Kinetic and isotherm studies of cadmium adsorption on manganese nodule residue. J Hazard Mater 2006; 137(2): 915-924.
- Zazouli MA, Veisi F, Veisi A. Modeling Bisphenol A Removal from Aqueous Solution by Activated Carbon and Eggshell. J Mazandaran Univ Med Sci 2013; 22(2): 129-138 (Persian).
- Yang HH, Zhang SQ, Chen XL, Zhuang ZX, Xu JG, Wang XR. Magnetite-containing spherical silica nanoparticles for biocatalysis and bioseparations. Anal Chem 2004; 76(5): 1316-1321.
- Zhang Y, Kohler N, Zhang MQ. Surface modification of superparamagnetic magnetite nanoparticles and their intracellular uptake. Biomaterials 2002; 23(7): 1553-1561.

فرآیند جذب کادمیوم بر روی لجن فعال از مدل سینتیک شبه درجه دوم پیروی می کند (۱۵). در پایان می توان نتیجه گرفت که با افزایش زمان ماند راندمان حذف افزایش پیدا می کند ولی سرعت جذب کادمیوم کاهش می یابد به صورتی که مقدار بیشتر جذب کادمیوم در زمان های اولیه فرآیند انجام می شود. همچنین نتایج نشان داد که با افزایش pH محلول راندمان جذب کادمیوم افزایش پیدا می کند و غلظت جاذب نیز یکی از عوامل موثر بر فرآیند جذب می باشد که با افزایش آن راندمان جذب کادمیوم افزایش پیدا می کند. نتایج نشان داد که پوشش دادن نانوذرات اکسید آهن بر روی گرانول کربن فعال می تواند باعث تغییر در خصوصیات شیمیایی و فیزیکی گرانول کربن فعال شود و به مقدار قابل توجهی کارایی جذب را افزایش

10. Shen HB, Hu M, Wang YB, Zhou HO. Polymerase chain reaction of nanoparticle-bound primers. *Biophys Chem* 2005; 115(1): 63-66.
11. Leun D, Sengupta AK. Preparation and characterization of magnetically active polymeric particles (MAPPs) for complex environmental separations. *Environ Sci Technol* 2000; 34(15): 3276-3282.
12. Boonfueng T, Axe L, Xu Y. Properties and structure of manganese oxide-coated clay. *J Colloid Interface Sci* 2005; 281(1): 80-92.
13. Eren E, Afsin B, Onal Y. Removal of lead ions by acid activated and manganese oxide-coated bentonite. *J Hazard Mater* 2009; 161(2-3): 677-685.
14. Rahmani A, Ghafari HR, Samadi M, Zarabi M. Synthesis of Zero Valent Iron Nanoparticles (nZVI) and its Efficiency in Arsenic Removal from Aqueous Solutions. *Water and Wastewater* 2011; 22(1): 35-41.
15. Phuengprasop T, Sittiwong J, Unob F. Removal of heavy metal ions by iron oxide coated sewage sludge. *J Hazard Mater* 2011; 186(1): 502-507.
16. Langmuir I. The constitution and fundamental properties of solids and liquids. Part I. Solids. *Journal of the American Chemical Society* 1916; 38(11): 2221-2295.
17. Freundlich H. Over the adsorption in solution. *J Phys Chem* 1906; 57: 385-470.
18. Horsfall M, Spiff AI. Equilibrium sorption study of Al³⁺, Co²⁺ and Ag⁺ in aqueous solutions by fluted pumpkin (*Telfairia occidentalis* HOOK f) waste biomass. *Acta Chim Slov* 2005; 52(2): 174-181.
19. Lagergren S. Handlingar. Band 1898; 24(4): 1-39.
20. Ho Y, McKay G. Pseudo-second order model for sorption processes. *Process Biochemistry* 1999; 34(5): 451-465.
21. Tan IA, Ahmad AL, Hameed BH. Preparation of activated carbon from coconut husk: optimization study on removal of 2, 4, 6-trichlorophenol using response surface methodology. *J Hazard Mater* 2008; 153(1-2): 709-717.
22. Ahmad R, Kumar R, Haseeb S. Adsorption of Cu²⁺ from aqueous solution onto iron oxide coated eggshell powder: Evaluation of equilibrium, isotherms, kinetics, and regeneration capacity. *Arabian J Chem* 2012; 5(3): 353-359.
23. Boujelben N, Bouzid J, Elouear Z. Adsorption of nickel and copper onto natural iron oxide-coated sand from aqueous solutions: Study in single and binary systems. *J Hazard Mater* 2009; 163(1): 376-382.
24. Amuda OS, Giwa AA, Bello IA. Removal of heavy metal from industrial wastewater using modified activated coconut shell carbon. *Biochem Eng J* 2007; 36(2): 174-181.
25. Fan HJ, Anderson PR. Copper and cadmium removal by Mn oxide-coated granular activated carbon. *Separation and Purification Technology* 2005; 45(1): 61-67.
26. Mockovčiaková A, Orolínová Z, Škvarla J. Enhancement of the bentonite sorption properties. *J Hazard Mater* 2010; 180(1-3): 274-281.
27. Chen W, Parette R, Zou J, Cannon FS, Dempsey BA. Arsenic removal by iron-modified activated carbon. *Water Research* 2007; 41(9): 1851-1858.
28. Wu J, Zhang H, He PJ, Yao Q, Shao LM. Cr (VI) removal from aqueous solution by dried activated sludge biomass. *J Hazard Mater* 2010; 176(1-3): 697-703.
29. Rao MM, Ramesh A, Rao GP, Seshaiah K. Removal of copper and cadmium from the aqueous solutions by activated carbon

- derived from *Ceiba pentandra* hulls. *J Hazard Mater* 2006; 129(1-3): 123-129.
30. Xu Y, Axe L. Synthesis and characterization of iron oxide-coated silica and its effect on metal adsorption. *J Colloid Interface Sci* 2005; 282(1): 9-11.
31. Azizi S, Shookohi R, Fredmal J. Biosorption of Pentachlorophenol from Aqueous Solutions Using *Phanerochaete Chrysosporium* Biomass. *J Mazandaran Univ Med Sci* 2014; 24(113): 105-117 (Persian).
32. Sarı A, Tuzen M, Soylak M. Adsorption of Pb (II) and Cr (III) from aqueous solution on Celtek clay. *J Hazard Mater* 2007; 144(1-2): 41-46.
33. Deliyanni EA, Peleka EN, Matis KA. Modeling the sorption of metal ions from aqueous solution by iron-based adsorbents. *J Hazard Mater* 2009; 172(2-3): 550-558.
34. Feng Y, Gong J-L, Zeng G-M, Niu Q-Y, Zhang H-Y, Niu C-G, et al. Adsorption of Cd (II) and Zn (II) from aqueous solutions using magnetic hydroxyapatite nanoparticles as adsorbents. *Chem Eng J* 2010; 162(2): 487-494.
35. Deng S, Ma R, Yu Q, Huang J, Yu G. Enhanced removal of pentachlorophenol and 2,4-D from aqueous solution by an aminated biosorbent. *J Hazard Mater* 2009; 165(1-3): 408-414.
36. Fan HT, Wu JB, Fan XL, Zhang DS, Su ZJ, Yan F, et al. Removal of cadmium(II) and lead(II) from aqueous solution using sulfur-functionalized silica prepared by hydrothermal-assisted grafting method. *Chem Eng J* 2012; 198-199: 355-363.